



## حل عددی جریان و انتقال حرارت ویسکوپلاستیک بینگهام درون حفره

حسین صادقی<sup>۱</sup>, علی اکبر دهقان<sup>۲</sup>, محمد سفید<sup>\*۲</sup>

۱- دانشجوی کارشناسی ارشد، مهندسی مکانیک، دانشگاه یزد، یزد

۲- دانشیار، مهندسی مکانیک، دانشگاه یزد، یزد

\* یزد، صندوق پستی ۸۹۱۹۵-۷۴۱

mhsefid@yazd.ac.ir

### چکیده

حریان درون حفره همواره به عنوان یک مسئله‌ی کلاسیک و بنیادی مورد توجه بوده است. مدل‌هایی خاص مانند ویسکوپلاستیک بینگهام که از جمله سیالات غیر نیوتونی است، در محدوده‌ی مشخصی تنفس، از خود مقاومت نشان می‌دهد و تقریباً شبیه جسم صلب رفتار می‌کند که تنفس تسلیم آن نامیده می‌شود و در صورت افزایش تنفس اعمالی به شکل سیال رفتار می‌کند. با در نظر گرفتن انتقال حرارت در این نوع ماده و حل و بررسی آن، تغییرات تنفس تسلیم و ویسکوزیته با دما آن‌گونه که در عمل با آن مواجه هستیم دور از ذهن نخواهد ماند. در کار حاضر با حل عددی مسئله‌ی حرفره با دریوش متجرک و ماده‌ی بینگهام درون آن، بررسی سیالاتی و انتقال حرارتی با در نظر گرفتن تغییرات خواص ماده، یعنی ویسکوزیته و تنفس تسلیم با دما، صورت گرفته است و نتایج با تغییر اعداد بدون بعد و پارامترهای متفاوت جریان و انتقال حرارت  $E=5000$ ،  $Pr=0.01-100$ ،  $Bn=1-2000$ ،  $Re=10-1000$  و  $E=5000$  ارائه شده‌اند. در این پژوهش، با استفاده از روش حجم محدود برای گسترش سازی معادلات حاکم و بهره‌گیری از شبکه هم-مکان، تأثیر واستگی ویسکوزیته و تنفس تسلیم به دما با حالت مستقل از دما مقایسه شده و سپس توزیع مؤلفه‌های افقی و عمودی سرعت، نواحی تسلیم و جریان داخل حفره، مرکز گردابه و عدد ناسلت روی دیوارهای جانبی با توجه به خطوط جریان، بررسی و تحلیل شده‌اند.

### اطلاعات مقاله

مقاله پژوهشی کامل

دریافت: ۳۰ مهر ۱۳۹۵

پذیرش: ۲۷ آبان ۱۳۹۵

ارائه در سایت: ۱۱ دی ۱۳۹۵

کلید واژگان:

سیال غیر نیوتونی

ویسکوپلاستیک

بینگهام

حجم محدود

حفره

## Numerical solution of flow and heat transfer of Bingham viscoplastic in cavity

Hosein Sadeghi, Ali Akbar Dehghan, Mohammad Sefid\*

Department of Mechanical Engineering, Yazd University, Yazd, Iran  
\* P.O.B. 89195-741 Yazd, Iran, mhsefid@yazd.ac.ir

### ARTICLE INFORMATION

Original Research Paper  
Received 21 October 2016  
Accepted 17 December 2016  
Available Online 31 December 2016

**Keywords:**  
Non-Newtonian fluid  
Viscoplastic  
Bingham  
Finite volume  
Lid-driven cavity

### ABSTRACT

The cavity problem has always been considered as a classic and fundamental problem. Specific materials like Bingham viscoplastic which is a sort of Non-Newtonian fluid, shows resistance in a certain range of stress, calling yield stress, and almost acts like rigid body in this limited area. In case of increased applied stress, it flows like fluid. With consideration of heat transfer in this type of material, yield stress and viscosity variations with temperature as in practice we face will not be far-fetched. In the present work the numerical solution of the problem of Bingham material inside lid-driven cavity, investigating fluid flow and heat transfer in view of the changes in material properties have been done and results show changes in dimensionless numbers and parameters of  $Re=10-1000$ ,  $Bn=1-2000$ ,  $Pr=0.01-100$  and  $E=5000-50000$ . In this study, the governing equations have been discretized and solved by using the finite volume method (FVM) and collocated grid. This work first compares the effect of viscosity and yield stress dependency on temperature with independence mode and then, distribution of horizontal and vertical components of velocity, yield areas and flow inside cavity, center of vortex and then heat transfer due to the stream lines next to side walls are analyzed.

### ۱- مقدمه

سیالات با تنفس تسلیم اولیه که نوعی از سیالات غیر نیوتونی هستند به دلیل داشتن شبکه بین ذراتی یا بین مولکولی در برابر تنفس برشی معینی مقاومت می‌کنند و نیاز به تنفس برشی اولیه (تنفس تسلیم) برای شروع سیال شدن دارند. به عبارت دیگر این سیالات مقدار محدودی تنفس را با نرخ کرنش صفر تحمل می‌کنند. اگر تنفس اعمالی بیشتر از مقدار بحرانی شود ساختارهای داخلی آن فرو ریخته و شروع به سیال شدن می‌کند که این نوع مواد غیر نیوتونی به عنوان ویسکوپلاستیک شناخته می‌شوند. انواع سیالات غیر

Please cite this article using:

H. Sadeghi, A. A. Dehghan, M. Sefid, Numerical solution of flow and heat transfer of Bingham viscoplastic in cavity, *Modares Mechanical Engineering*, Vol. 16, No. 12, pp. 745-755, 2016 (in Persian)

برای ارجاع به این مقاله از عبارت ذیل استفاده نمایید:

H. Sadeghi, A. A. Dehghan, M. Sefid, Numerical solution of flow and heat transfer of Bingham viscoplastic in cavity, *Modares Mechanical Engineering*, Vol. 16, No. 12, pp. 745-755,

عددهای بینگهام پایین (0.1-1) بررسی شده است. او در کار خود مقداری بحرانی پارامتر منظم‌سازی مورد استفاده‌ی خود را در چند مورد بررسی کرده و رابطه‌ی آن مقداری با پارامترهای جریان را ارائه کرده است. همچنین نئوفیتو و همکاران [10] برای حل مدل کیسون درون یک مجرای انقباضی و در مرجع [11] سه مدل سیال غیرنیوتونی از جمله ویسکوپلاستیک بینگهام را در حالت انبساط ناگهانی بهمنظور بررسی تقارن پدیده‌ی انشاع در مقادیر تنش تسلیم نسبتاً پایین انجام داده‌اند و با تطبیق نتایج خود با کارهای پیشین روش مورد استفاده در این مرجع را معرفی کرده‌اند. میندیس و همکاران [12] و نکیش و باریوسا [13] از روش حجم محدود برای مدل‌سازی جریان ویسکوپلاستیک درون مجاوا انسباط و انقباض پشت سر هم استفاده کرده‌اند و هر کدام در شرایط متفاوت نواحی تسلیم و افت فشار درون مجاوا را مورد مطالعه قرار داده‌اند. مراجع [14-18] مربوط به تحقیقاتی هستند که از روش هایی غیر از حجم محدود که اغلب المان محدود هستند مسأله‌ی حفره برای سیال بینگهام حل کرده‌اند. نوار و لوچه [19] با در نظر گرفتن ویسکوپلیتیک پلاستیک و استفاده به دما، جریان ویسکوپلاستیک بینگهام درون کانال را حل کرده‌اند که نتایج عدد ناسلت در ورویدی کانال با اختلاف کمتر از ۱ درصد نزدیک به نتایج آزمایشگاهی گزارش شده است. نهدی و مارتینی [20] با در نظر گرفتن تنش تسلیم وابسته به دما اختلال طولانی مدت خمیر سیمان را با مدل بینگهام تقریب زده و حل کرده‌اند که در دمای متفاوت محیط نوسانات تنش بررسی شده است. سامپایو و همکاران [21] جریان نفت خام موومی شکل درون لوله در اعماق آب را با استفاده از مدل بینگهام با تنش تسلیم وابسته به دما بررسی کرده که از روش حجم محدود برای حل عددی خود استفاده کرده‌اند. در این مرجع مشاهده شده که در قسمت‌هایی که دما پایین‌تر است خاصیت ویسکوپلاستیک سیال شدیدتر است و در آن ناحیه گرفتگی به وجود می‌آید. میتسولیس و زیسیس [15] جریان بینگهام درون حفره را با استفاده از روش منظم‌سازی پاپاناستازیو حل و بررسی کرده‌اند. آن‌ها برای این پژوهش با استفاده از روش المان محدود و تغییرات عدد بینگهام از ۰ تا ۵۰۰۰۰۰ و پارامتر رشد تنش ۱۰۰ و ۲۰۰، پس از حرکت درپوش، نواحی تسلیم شده و تسلیم نشده را نشان داده‌اند. ولا و همکاران [16] جریان غیر دائم بینگهام بدون استفاده از روش‌های منظم سازی معادلات انجام داده است. این پژوهش علاوه‌بر بررسی هیدرودینامیکی مسأله‌ی حفره، شامل مزهای حرارتی و انتقال حرارت جابجایی آزاد با خواص ثابت بررسی کرده است. ژانگ [22] از روش لاگرانژین افزوده<sup>6</sup> برای حل جریان بینگهام داخل حفره استفاده کرده است و به منظور تقریب‌های سرعت و فشار از فضاهای المان محدود هم مرتبه پاره‌ای که توسط هوگس و لیو [23] معرفی و تحلیل شده بهره گرفته شده است. این روش در اصل برای ویسکوپلاستیک هرشنل بالکلی معرفی شده بوده که در این کار برای بینگهام مورد استفاده قرار گرفته است. سیراکوس و همکاران [24] با بهره‌گیری از روش حجم محدود اقدام به حل جریان خوشی پلاستیک بینگهام داخل حفره با درپوش متحرک کرده‌اند که از روش منظم‌سازی پاپاناستازیو برای معادله‌ی دو ضابطه‌ای بینگهام استفاده شده است. سیراکوس [25] کار خود را برای بررسی اثرات اینرسی درون حفره با استفاده از روش حجم محدود برای گسترش سازی معادلات و قاعده‌ی منظم‌سازی پاپاناستازیو گسترش داد. لابسی و همکاران [26] با در نظر گرفتن اتلاف ویسکوپلیتیک، جابجایی اجباری و آزاد با خواص ثابت درون حفره را با استفاده از روش حجم محدود حل کرده‌اند که نتایج

کاغذ سازی، تولید لاستیک و تولید انواع روغن اشاره کرد. علاوه‌بر انواع روش - های عددی قابل ارائه برای بررسی رفتار سیالاتی و حرارتی ویسکوپلاستیک بینگهام، در بسیاری از موارد نیاز به تحقیقات آزمایشگاهی بیشتر احساس می‌شود. در این نوع از سیالات ویسکوپلیتیک ظاهری با افزایش نرخ برش افزایش یا غالباً کاهش می‌یابد. در ویسکوپلاستیک از نوع بینگهام که گونه‌ای از مدل هرشنل بالکلی<sup>1</sup> است، ویسکوپلیتیک ظاهری از رابطه‌ی  $\mu_{app} = \tau_y/\dot{\gamma} + \mu$ <sup>2</sup> پیروی می‌کند و پس از تسلیم، رابطه‌ی تنش با نرخ کرنش یک رابطه‌ی خطی است [1]. ساده‌ترین و شناخته شده‌ترین شکل معادله‌ی توضیح دهنده‌ی سیالات ویسکوپلاستیک با تنش تسلیم، مدل بینگهام است [2] که با رابطه‌ی (1) تعریف می‌شود.

$$\begin{cases} \tau = \left( \mu + \frac{\tau_y}{\dot{\gamma}} \right) \dot{\gamma}, & \tau > \tau_y \\ \dot{\gamma} = 0, & \tau \leq \tau_y \end{cases} \quad (1)$$

که  $\tau$  تنش تسلیم،  $\mu$  ویسکوپلیتیک پلاستیک،  $\tau$  تانسور تنش و  $\dot{\gamma}$  تانسور نرخ کرنش هستند.

$$\dot{\gamma} \equiv \nabla u + (\nabla u)^T \quad (2)$$

با بردار سرعت و بالا نویس  $T$  تراشه‌ده گرادیان سرعت را نشان می‌دهد. اندازه این دو تانسور  $\dot{\gamma}^{1/2}$  و  $\dot{\gamma}^2$  می‌باشد که  $= [\dot{\gamma}_x^2 + \dot{\gamma}_y^2]^1/2$  و  $= [\tau_x^2 + \tau_y^2]^1/2$  هستند.

در حل عددی معادلات دو ضابطه‌ای مثل معادله‌ی تنش - نرخ کرنش حاکم بر ویسکوپلاستیک بینگهام چالشی که با آن رویه‌رو هستیم این است که با توجه به تعریف ویسکوپلیتیک ظاهری و وجود نرخ کرنش در مخرج کسر، در صورت صفر بودن نرخ کرنش حل ناپایدار می‌گردد. به عبارت دیگر می‌توان گفت همان‌طور که از رابطه‌ی (1) مشهود است، در تئوری اولیه‌ی مدل بینگهام برای نرخ کرنش صفر راهی برای محاسبه تنش وجود ندارد. برای حل این مشکل اغلب سه راه کلی توصیه می‌شود، یکی استفاده از تابعی نمایی مثل مدل پاپاناستازیو [3]، توابع دارای پارامتر  $\epsilon$  مثل مدل فریگارد [4] و مدل دو ویسکوپلیتیک<sup>2</sup> دونووان و تнер [5] است.

مروری جامع پیرامون ویسکوپلاستیسیته توسط بارنس [2] پیرامون مدل بینگهام انجام شده و درباره‌ی روش‌های استفاده شده برای حل مسأله‌ی حفره بحث شده و با هم مقایسه شده‌اند. در بیان مدل تک معادله‌ای به صورت تابع نمایی که مشهورترین فرم آن مدل پاپاناستازیو است از پارامتر رشد تنش استفاده می‌شود که باید به اندازه‌ی کافی بزرگ باشد. فریگارد و نوار [4] همگرایی این فرمول و سایر روش‌های منظم‌سازی<sup>3</sup> که شامل دو ویسکوپلیتیک<sup>4</sup> می‌شود بررسی کرده‌اند. آن‌ها با بررسی چند ماده دریافت‌هایند که روش‌های منظم‌سازی برای مواد با خاصیت روغن کاری بیشترین خطا را در پیش‌بینی رفتار آن‌ها دارند. دین و همکاران [6] روش‌های عددی براساس دیدگاه نابرابری تغییرات<sup>4</sup> را برای ویسکوپلاستیک بینگهام بررسی کرده و نتیجه گرفته‌اند که با توجه به روش عددی مورد استفاده باید روش منظم‌سازی مناسب را انتخاب کرد. فرتین و گلوبوینسکی [7] و گلوبوینسکی و ادن [8] کار خود را بر اساس دیدگاه لاگرانژین افزایش یافته برای سیال ویسکوپلاستیک درون حفره ارائه کرده و این روش عددی را جهت حل جریان ویسکوپلاستیک تأیید نموده‌اند. نئوفیتو [9] از روش گسترش سازی حجم محدود با الگوریتم سیمپل<sup>5</sup> استفاده کرده که جریان داخل حفره برای

<sup>1</sup> Herschel-Bulkley

<sup>2</sup> bi-viscosity

<sup>3</sup> Regularization methods

<sup>4</sup> Variational inequality

<sup>5</sup> SIMPLE

<sup>6</sup> Augmented lagrangian method

## 2- شرح مسئله و معادلات حاکم

در این تحقیق، جریان پایا و دو بعدی درون یک حفره مربعی با ابعاد  $L$  و سیال بینگهام درون آن در نظر گرفته شده است. "شکل 1" هندسه مسئله و شرایط مرزی را نشان می‌دهد.

شکل یک بعد شده معادلات با تعریف پارامترهای بی بعد در رابطه (3)، در ادامه آمده‌اند.

$$u^* = \frac{u}{U}, v^* = \frac{v}{U}, p^* = \frac{pL}{\mu U}, x^* = \frac{x}{L}, y^* = \frac{y}{L} \quad (3)$$

معادله پیوستگی:

$$\nabla \cdot u^* = 0 \quad (4)$$

معادله مومنتوم:

$$\operatorname{Re}(u^* \cdot \nabla u^*) = -\nabla p^* + \nabla^2 u^* \quad (5)$$

و معادله انتقال حرارت:

$$u^* \frac{\partial \theta}{\partial x^*} + v^* \frac{\partial \theta}{\partial y^*} = \frac{1}{\operatorname{Re} \operatorname{Pr}} \left( \frac{\partial^2 \theta}{\partial x^{*2}} + \frac{\partial^2 \theta}{\partial y^{*2}} \right) \quad (6)$$

پارامترهای بدون بعد دیگر که مشخصه‌های جریان و ماده هستند به صورت رابطه (7) تعریف می‌شوند.

$$\operatorname{Re} = \frac{\rho UL}{\mu}, \quad \operatorname{Bn} = \frac{\tau_y L}{\mu U}, \quad \operatorname{Pr} = \frac{c_p \mu}{k} \quad (7)$$

این پارامترها به ترتیب نسبت نیروهای اینرسی به نیروهای ویسکوز، نسبت تنش تسلیم به تنش ویسکوز و نسبت نفوذ مومنتوم به نفوذ حرارتی هستند که به ترتیب عدد رینولدز، عدد بینگهام و عدد پرانتل نامیده می‌شوند و همچنین دما از رابطه (8) بدون بعد می‌شود. مدل دو ویسکوپلاستیک استفاده شده از آنچه دونووان و تنر [5] به صورت رابطه (9) ارائه کردند پیروی می‌کند.

$$\theta = \frac{T - T_c}{T_h - T_c} \quad (8)$$

$$\begin{cases} \tau = \mu_{yield} \dot{\gamma}, & \dot{\gamma} \leq \frac{\tau_y}{\mu_{yield}} \\ \tau = \tau_y + \mu \left[ \dot{\gamma} - \frac{\tau_y}{\mu_{yield}} \right], & \dot{\gamma} > \frac{\tau_y}{\mu_{yield}} \end{cases} \quad (9)$$

در رابطه (9)،  $\mu$  ویسکوپلاستیک است و  $\mu_{yield} = 1000 \mu$  در نظر گرفته شده [5] که ویسکوپلاستیک تسلیم نامیده می‌شود. به عبارت دیگر

$$u = U, v = 0 \\ \partial T / \partial y = 0$$

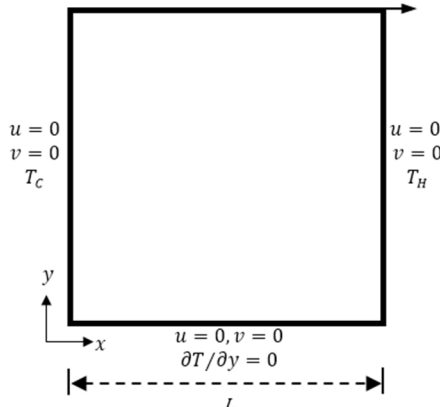


Fig. 1 Geometry of the problem

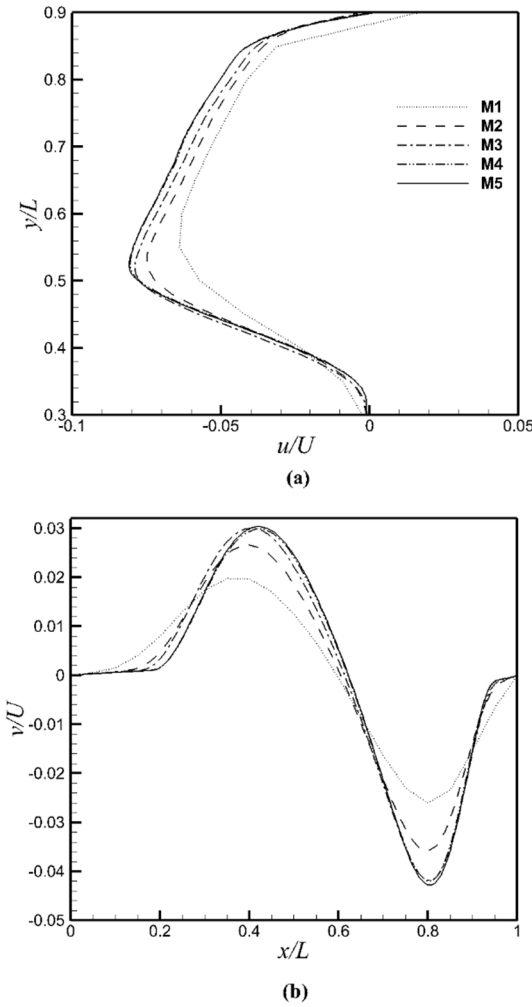
شکل 1 هندسه مسئله

خود را برای چند عدد ریچاردسون<sup>1</sup> ارائه داده و با کارهای پیشین مقایسه کرده‌اند. سوآرس و همکاران [27] انتقال حرارت مواد ویسکوپلاستیک در ورودی داخل تیوب‌ها را به صورت عددی با روش حجم محدود بررسی کرده‌اند. در این مرجع از مدل بینگهام برای شبیه‌سازی استفاده شده است و با توجه به مرجع [28] که پژوهشی با فیزیک مشابه به صورت تجربی و عددی صورت گرفته است، در هر دو تأکید شده است که با در نظر گفتن خواص مستقل از دما خطاها قابل توجهی در نتایج پیدا می‌شود. پژوهش و همکاران [29] انتقال حرارت یک نوع سیال غیرنیوتونی که در این مرجع مدل بینگهام در نظر گرفته شده را درون لوله به صورت تجربی بررسی کرده‌اند و با در نظر گرفتن ویسکوپلاستیک وابسته به دما، پیش‌بینی‌های ریاضیاتی مدل با نتایج تجربی مطابق شده است و همچنین توصیه شده است که در این نوع مسائل وابستگی ویسکوپلاستیک به دما غیرقابل چشم‌پوشی است. توران و همکاران [30] انتقال حرارت جابجایی آزاد سیال بینگهام درون حفره را با نرم‌افزار تجاری فلوئنت حل عددی کرده و تغییرات عدد ناسلت را برای چند عدد بینگهام بررسی کرده‌اند. آن‌ها کار خود را برای شرط مرزی حرارتی دما ثابت روی دیوارهای بینگهام کردند که برای مشاهده نتایج دقیق‌تر و بررسی عمیق‌تر باید خواص توصیه کرده‌اند که برای روش گرفته شود. این دو محقق در ادامه [31] همان مسئله را با شرط مرزی شار حرارتی ثابت روی دیوارهای جانبی، همچنان با خواص مستقل از دما دنبال کرده‌اند و توزیع سرعت، دما و رفتار انتقال حرارتی ماده را مورد بررسی قرار داده‌اند.

با توجه به فیزیک و رفتار ویسکوپلاستیک بینگهام، در نظر گرفتن تغییرات تنش تسلیم با دما در شرایطی که تغییرات دما قابل توجه باشد امری اجتناب‌ناپذیر است. با توجه به برخی از تحقیقات پیشین [30, 19, 33, 32, 20] مسائل متفاوتی به هر دو روش آزمایشگاهی یا ویسکوپلاستیک داشتند که در کارهای عددی ویسکوپلاستیک و در کارهای آزمایشگاهی ویسکوپلاستیک و تنش تسلیم در روابط حاکم وابسته به دما در نظر گرفته شده‌اند. در این موارد تطبیق بسیار نزدیکی بین نتایج هر دو روش گزارش شده است که می‌توان نتیجه گرفت برای نزدیک شدن شبیه‌سازی عددی به واقعیت، لازم است وابستگی تنش تسلیم و ویسکوپلاستیک به دما در نظر گرفته شود. بنابر تحقیقات گذشته و مور آن‌ها در کار حاضر که سعی شده است جامع و کامل صورت گیرد، توجه بسیار کمی به این موضوع مهم شده است و از طرفی، در اکثر پژوهش‌های مسئله جریان بینگهام درون حفره فقط رفتار سیالاتی آن، به روش‌های عددی مختلف، دنبال شده است و اگر هم مسئله انتقال حرارت حل شده است، در بیشتر موارد و در تمام موارد برای مسئله حرفره از تغییرات خواص، یعنی ویسکوپلاستیک و تنش تسلیم، با دما چشم‌پوشی شده که در عمل دور از واقعیت است.

در این پژوهش مسئله حرفره با ابزار عددی مبتنی بر روش عددی حجم محدود و شبکه‌ی هم‌مکان، متفاوت با کارهای پیشین پیرامون مسئله حرفره حل شده است. در اینجا رفتار ویسکوپلاستیک بینگهام درون حفره، به عنوان مسئله‌ای بنیادی در مکانیک سیالات، با در نظر گرفتن تنش تسلیم و ویسکوپلاستیک وابسته به دما و با استفاده از مدل دو ویسکوپلاستیک برای معادله تنش - نرخ کرنش در دامنه بزرگی از مشخصه‌های جریان، ماده و انتقال حرارت بررسی شده است. در ادامه برای اختصار از واژه خواص به جای تنش تسلیم و ویسکوپلاستیک استفاده شده است.

<sup>1</sup> Richardson



**Fig. 2.** Study of mesh size effect with comparison of (a)  $u$  and (b)  $v$  on the vertical and horizontal mid-sections respectively

شکل 2 بررسی اثر اندازه شبکه با مقایسه مقدار مؤلفه‌های (a) افقی و (b) عمودی سرعت روی مقاطع میانی به ترتیب عمودی و افقی

### 3- اعتبارسنجی

با توجه به این که اعتبارسنجی مسئله قسمت پر اهمیت هر کار عددی است، در اینجا بررسی و مقایسه‌ای گسترده در دو قسمت انجام گرفته است. ابتدا برای بررسی صحت نتایج، مسئله بدون انتقال حرارت با کار سیراکوس و همکاران [25] مقایسه شده است. "شکل 3" موقعیت مراکز گردابه مرکزی در چند پارامتر جریان و ماده یعنی عدد رینولدز و عدد بینگهام با خواص مستقل از دما را نشان می‌دهد. در "شکل 3" نتایج برای اعداد بینگهام 1، 10 و 100 و عدد رینولدز 1 تا 1000 و 5000 نشان داده شده که نتایج کار حاضر و سیراکوس و همکاران [25] تطابق قابل قبولی دارند. اعتبارسنجی دیگر نیز با تمرکز بر انتقال حرارت صورت گرفته است. به دلیل این که کار آزمایشگاهی نزدیک به این کار تا زمان نگارش این مقاله وجود نداشته، از کار عددی سوارس و همکاران [27] کمک گرفته شده است. در این مرجع جریان ویسکوپلاستیک بینگهام به دماء، با استفاده از روش حجم محدود و شبکه می‌شود. در آن پژوهش [27] مطالعه شده‌اند، در اینجا جهت اعتبارسنجی، کanal با

شیب نمودار تنفس-نرخ کرنش قبل از تسلیم است. تغییرات تنفس تسلیم و ویسکوزیته با دما از رابطه نمایی زیر پیروی می‌کند [1].

$$m = m_0 \exp(E/RT) \quad (10)$$

در رابطه (10) که بیان نمایی به فرم آرهنیوس گفته می‌شود،  $m$  می‌تواند تنفس تسلیم یا ویسکوزیته باشد. ثابت  $m_0$  با توجه به کاربرد رابطه، مقدار اولیه است. ثوابت  $E$  و  $R$  به ترتیب انرژی فعلی سازی جریان ویسکوز، که با مشاهدات تجربی به دست می‌آید، و ثابت جهانی گازها هستند.

### 3- روش عددی

معادلات پیوستگی، مومنتوم و انتقال حرارت بر پایه‌ی کد غیرتجاری و متن باز این فوم<sup>1</sup> نسخه‌ی 3.0 با اضافه کردن معادلات انتقال حرارت و تغییرات موردنیاز برای این کار، در حلگر ایکوفوم<sup>2</sup> حل شده است. پیشتر از این فوم در چندین کار [37-34] برای سیال ویسکوپلاستیک بینگهام استفاده شده و نتایج آن مورد تأیید قرار گرفته است. در این حلگر معادلات جریان و انتقال حرارت بر پایه‌ی روش عددی حجم محدود گستته می‌شوند و از شبکه‌ی هم مکان استفاده می‌گردد. در اینجا از طرح مرتبه دوم تفاضل مرکزی برای ترممهای نفوذ و از طرح مرتبه دوم بالادست برای ترممهای جایجایی استفاده شده و برای حل معادلات تؤام فشار و سرعت الگوریتم پیزو<sup>3</sup> به کار گرفته شده است.

### 3-1- شرایط مرزی

با توجه به شکل هندسی مسئله که یک حفره با درپوش متحرک است ("شکل 1")، چهار دیوار وجود دارند که باید شرایط مرزی روی آن‌ها مشخص باشند. در اینجا چهار معادله شامل معادله پیوستگی، مومنتوم در جهت  $x$ ، مومنتوم در جهت  $y$  و معادله انرژی که مسئله را برای دستیابی به مقادیر  $u, v, T, p$  حل می‌کنند. شرایط مرزی سرعت در اینجا، برای سه دیوار راست، پایین و چپ ساکن و دیوار بالا متحرک با سرعت ثابت  $U$  در جهت  $x$  هستند و شرط عدم لغزش روی تمام دیوارها برقرار است. شرایط مرزی دما برای دیوار سمت چپ ( $0, y$ ) و راست ( $L, y$ ) به ترتیب مقادیر ثابت  $T_C$  و  $T_H$  که دمایهای سرد و گرم هستند و دیوارهای بالا و پایین با شرط شار حرارتی صفر در نظر گرفته شده‌اند. با توجه به روش شبکه هم مکان که در این حلگر استفاده شده به شرط مرزی فشار نیاز است که در اینجا شرط شیب صفر برای فشار روی دیوارها تنظیم شده است [38].

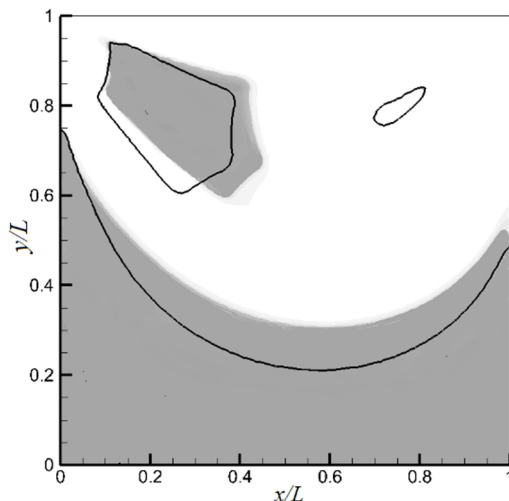
### 3-2- استقلال شبکه

برای دستیابی به شبکه‌ی بهینه، پنج شبکه‌ی با سازمان  $M_1, M_2, M_3, M_4$  و  $M_5$  که به ترتیب با ابعاد شبکه  $20 \times 20$ ،  $50 \times 50$ ،  $100 \times 100$  و  $150 \times 150$  و  $200 \times 200$  هستند مطالعه شده‌اند. برای بررسی این موضوع، "شکل 2" مؤلفه افقی سرعت در مقطع عمودی در  $x=0.5$  و  $y=0.5$  در  $Re=1000$  و  $Bn=10$  بدون انتقال حرارت را نشان می‌دهد. در "شکل 2" منحنی مقادیر مؤلفه‌های سرعت روی مقطع افقی و عمودی نشان داده شده که طبق آن با کاهش اختلاف آن‌ها و با در نظر گرفتن زمان و دقت محاسبات به دلیل اختلاف ناچیزی که بین نتایج شبکه‌ی  $M_4$  و  $M_5$  مشاهده می‌شود، شبکه  $M_4$  برای ادامه کار انتخاب می‌شود.

<sup>1</sup> OpenFOAM

<sup>2</sup> icoFoam

<sup>3</sup> PISO

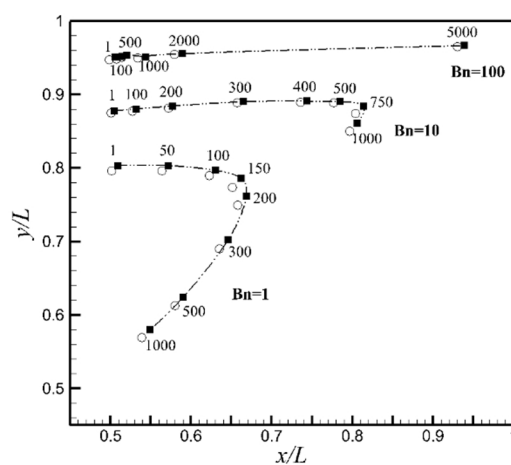


**شکل ۵** مقایسه نواحی تسلیم نشده در دو حالت خواص ثابت (طوسی) و متغیر (خط) با دما در  $Re=1000$ ,  $Pr=100$  و  $Bn=10$ .

100 انجام گرفته است. پس از بررسی هایی که در قسمت های قبل آورده شد، نتایج جریان و انتقال حرارت در ادامه آمده است که به تفصیل بررسی و مقایسه شده اند. در ابتدا مقایسه ای بین دو حالت خواص مستقل از دما و واپسیه به دما که مورد توجه کار حاضر است صورت گرفته. "شکل ۵" نشان دهنده تفاوت این دو حالت و اثر عدم در نظر گرفتن واپسیگی به دما بر نواحی تسلیم نشده را نشان می دهد. در "شکل ۵" تفاوت در ناحیه تسلیم شده و نشده آورده شده است که نواحی تسلیم نشده با فرضیات کار حاضر تفاوت قابل توجهی با حالت خواص مستقل از دما دارند. تمام نتایج به جز در قسمتی که اثر انرژی فعل سازی بر توزیع سرعت بررسی شده در  $E=30000$  انجام شده اند.

#### 4-1-بررسی سیالاتی

با ایجاد مقاطع افقی و عمودی در میانه حفره، مولفه های افقی و عمودی سرعت در رینولدز 1000 برای عدد بینگهام 1 تا 2000 استخراج شده اند. "شکل 6" تغییرات مؤلفه های افقی و عمودی سرعت در رینولدز 1000 را نشان می دهد. بنابر "شکل 6" برای هر دو مورد، تغییرات از بینگهام 1 تا 10 شدیدتر از سایر اعداد بینگهام است و با افزایش عدد بینگهام و بیشتر شدن خاصیت ویسکوپلاستیستیه این تغییرات کاهش می یابد به طوری که برای بینگهام های 1000 و 2000 تفاوت محسوسی مشاهده نمی شود. با همین روش بررسی دیگری برای تغییرات سرعت با تغییر انرژی فعل سازی صورت گرفته است که مشاهده می شود تغییرات مؤلفه های عمودی سرعت بیشتر از مؤلفه های افقی است و همین طور با کاهش انرژی فعل سازی از 50000 تا 5000 مقدار سرعتها کمتر می شوند. "شکل 7" بررسی تغییرات سرعت با تغییر انرژی فعل سازی را نشان می دهد. با توجه به "شکل 7" مشاهده می شود که با افزایش انرژی فعل سازی ماده، مقدار مؤلفه های افقی و عمودی سرعت افزایش یافته و تغییرات بیشتری از خود نشان می دهد که البته در مورد مؤلفه های عمودی سرعت این تغییرات محسوس تر است. می توان گفت که با افزایش انرژی فعل سازی، اثربداری ماده نسبت به تغییرات دما افزایش می یابد که باعث کاهش تنش تسلیم و افزایش مقدار سرعت می شود.

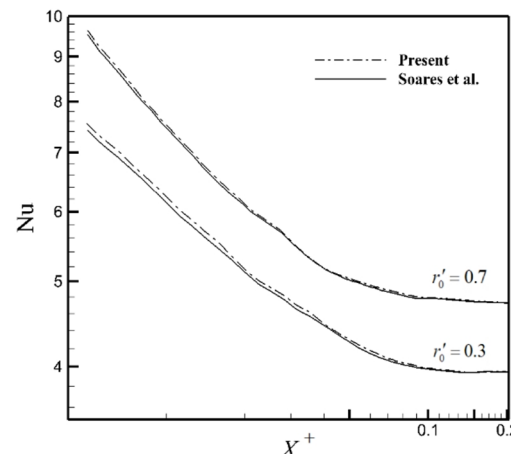


**شکل ۳** اعتبارسنجی مرکز گردابه در اعداد رینولدز مختلف (اعداد روی نمودار). کار حاضر با ■ و مرجع [25] با ○ نشان داده شده اند.

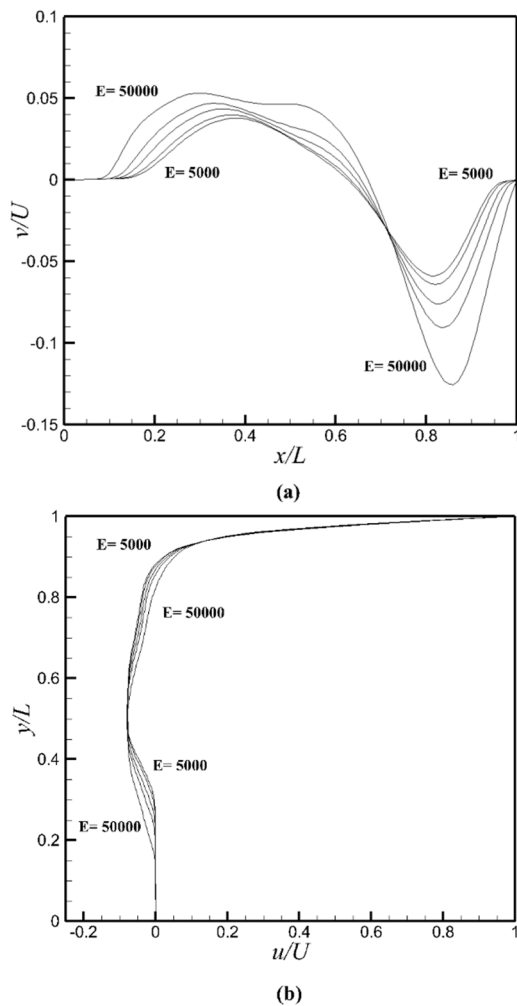
سیال ورودی با دمای سرد و دیواره با دمای گرم ثابت در عدد رینولدز 10 انتخاب شده است. برای این قسمت معادلات بر اساس آنچه که در مرجع [27] آمده دنبال و بی بعد شده اند. با حل مسئله کاتال به وسیله کد حاضر، تغییرات عدد ناسلت روی دیوار مقایسه شده است. در "شکل 4" تغییرات عدد ناسلت در ورودی کاتال برای دو موقعیت شعاعی مقایسه و اعتبارسنجی شده است. با توجه به "شکل 4" مشاهده می شود که برای دو حالت بررسی شده، با حرکت از دهانه ورودی کاتال به سمت پایین دست با توسعه یافتنی جریان مقدار عدد ناسلت کاهش می یابد و در ناحیه توسعه یافته به سمت یک مقدار ثابت همگرا می شود. مشاهده می شود نتایج کار حاضر و مرجع [27] نزدیکی قابل قبولی دارند.

#### 4- نتایج عددی

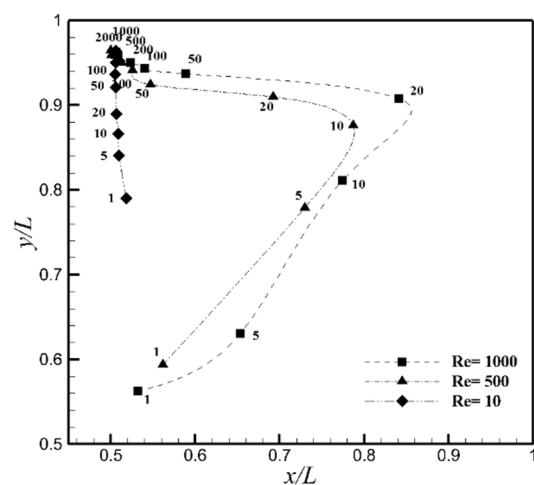
حفره با ابعاد واحد و برابر، با درپوش متحرک با سرعت واحد به سمت راست و با سیال بینگهام با خواص متغیر با دما درون آن، حل عددی شده و نتایج در گستره بزرگی از پارامترهای سیالاتی و انتقال حرارتی ارائه شده اند. این کار در اعداد رینولدز 100 تا 2000، عدد بینگهام 1 تا 2000 و عدد پرانتل 0.01 تا



**شکل ۴** مقایسه عدد ناسلت در ورودی کاتال. کار حاضر و مرجع [27]

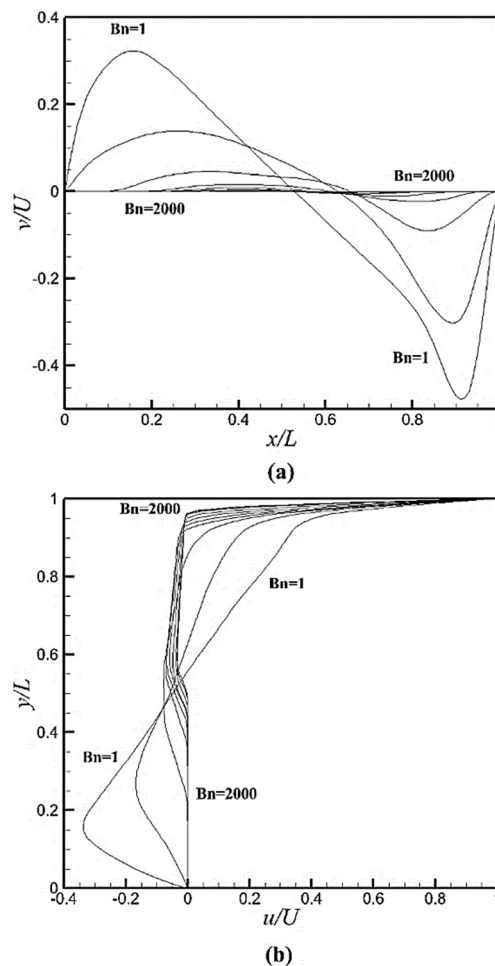


**Fig. 7** تغییرات مؤلفه‌های (a) عمودی و (b) افقی سرعت با تغییر انرژی فعال سازی روی مقاطع به ترتیب افقی و عمودی در وسط حفره



**Fig. 8** موضعیت مرکز گردابه در  $\text{Pr}=100$  با تغییر عدد رینولدز و عدد بینگهام (اعداد روی نمودار)

"شکل 9" با توجه به لزوم بررسی نواحی تسیلیم شده و نشده آورده شده که



**Fig. 6** تغییرات مؤلفه‌های (a) عمودی و (b) افقی سرعت با تغییر عدد بینگهام مقاطع افقی و عمودی در وسط حفره در  $\text{Re}=1000$

شکل 6 تغییرات مؤلفه‌های (a) عمودی و (b) افقی سرعت با تغییر عدد بینگهام در  $\text{Re}=1000$

یکی دیگر از مواردی که در این کار دنبال شده، موقعیت مرکز گردابه با تغییر عدد رینولدز و بینگهام است. "شکل 8" موقعیت مرکز گردابه درون حفره در اعداد بینگهام 1 تا 2000، اعداد رینولدز 10، 500، 1000 و 1000 و عدد پرانتل 100 را نشان می‌دهد که بهصورت کیفی بررسی شده است. با توجه به "شکل 8" با افزایش عدد بینگهام در رینولدز ثابت مرکز گردابه به سمت راست و بالا و در نهایت به زیر وسط درپوش حرکت می‌کند. با توجه به دامنه‌ای از اعداد بینگهام که در این کار انتخاب شده می‌توان نتیجه گرفت که با افزایش بیشتر عدد بینگهام، موقعیت مرکز گردابه تغییر محسوسی نخواهد داشت و در ناحیه‌ای مشابه با آنچه در "شکل 8" اعداد بینگهام بالا متتمرکز شده‌اند، تقریباً در  $x/L=0.52$  و  $y/L=0.96$  قرار خواهد گرفت.

علت تمرکز و ثابت ماندن موقعیت مرکز گردابه با افزایش عدد بینگهام، افزایش تنش تسليمی ماده است که باعث می‌شود جریان داخل حفره به یک ناحیه‌ای خاص محدود شود. همچنین با افزایش عدد رینولدز این نقطه به سمت راست یعنی در جهت حرکت درپوش متمایل می‌شود. اما سرانجام در همان ناحیه‌ای بالایی قرار می‌گیرد و مشاهده می‌شود که در اعداد بینگهام بالا عدد رینولدز اثر چندانی بر موقعیت مرکز گردابه ندارد و بیشترین تأثیر تغییر عدد رینولدز در اعداد بینگهام پایین است. آنچه که در "شکل 8" بررسی شده کمتر در کارهای پیشین مشاهده شده است و برای توضیح جریان داخل حفره مفید و مؤثر به نظر می‌رسد.

"شکل 10" بررسی نواحی تسلیم با تغییر عدد رینولدز را نشان می‌دهد. توجه به "شکل 10" با افزایش عدد رینولدز به دلیل شدت گرفتن جریان و افزایش تنش‌های وارد بر ماده، حجم قسمت‌های تسلیم شده افزایش می‌یابد و همچنین قسمت تسلیم نشده میانی به سمت چپ و در خلاف جهت حرکت درپوش متمایل می‌شود.

#### 2-4- بررسی انتقال حرارت

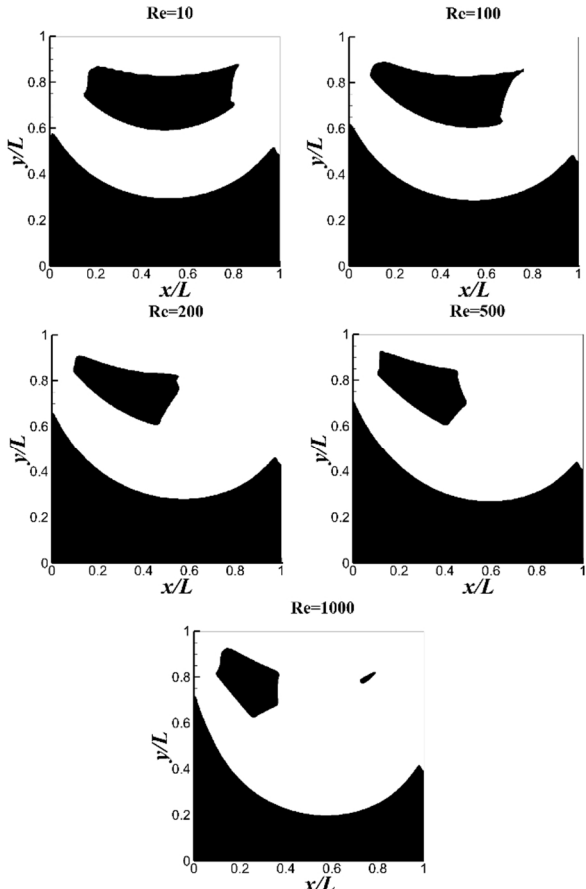
برای دنبال کردن رفتار انتقال حرارتی در حالت‌های متفاوت، عدد ناسلت روی دیوار سمت راست و چپ مورد بررسی قرار گرفته است که از معادله (10) محاسبه می‌شود [30].

$$Nu = hL/k, \quad h = \left| -k \frac{\partial T}{\partial x} \right|_{wf} \times \frac{1}{T_{wall} - T_{ref}} \quad (10)$$

عدد ناسلت کمیتی بدون بعد و بیانگر نسبت انتقال حرارت جابجایی به هدایت در سیال است. در رابطه‌ی بالا  $T_{wall}$  دمای دیوار و  $T_{ref}$  دمای مرجع است که می‌تواند دو مقدار  $T_C$  یا  $T_H$  به ترتیب برای محاسبه ناسلت روی دیوار گرم با سرد اختیار کند و زیرنویس  $wf$  به حالت سیال در تماس با دیوار اشاره دارد. همچنین ناسلت میانگین نیز بررسی شده است که از رابطه‌ی  $\bar{Nu} = \int_0^L Nu dy/L$  محاسبه شده است.

#### 1-2-4- اثر عدد بینگهام

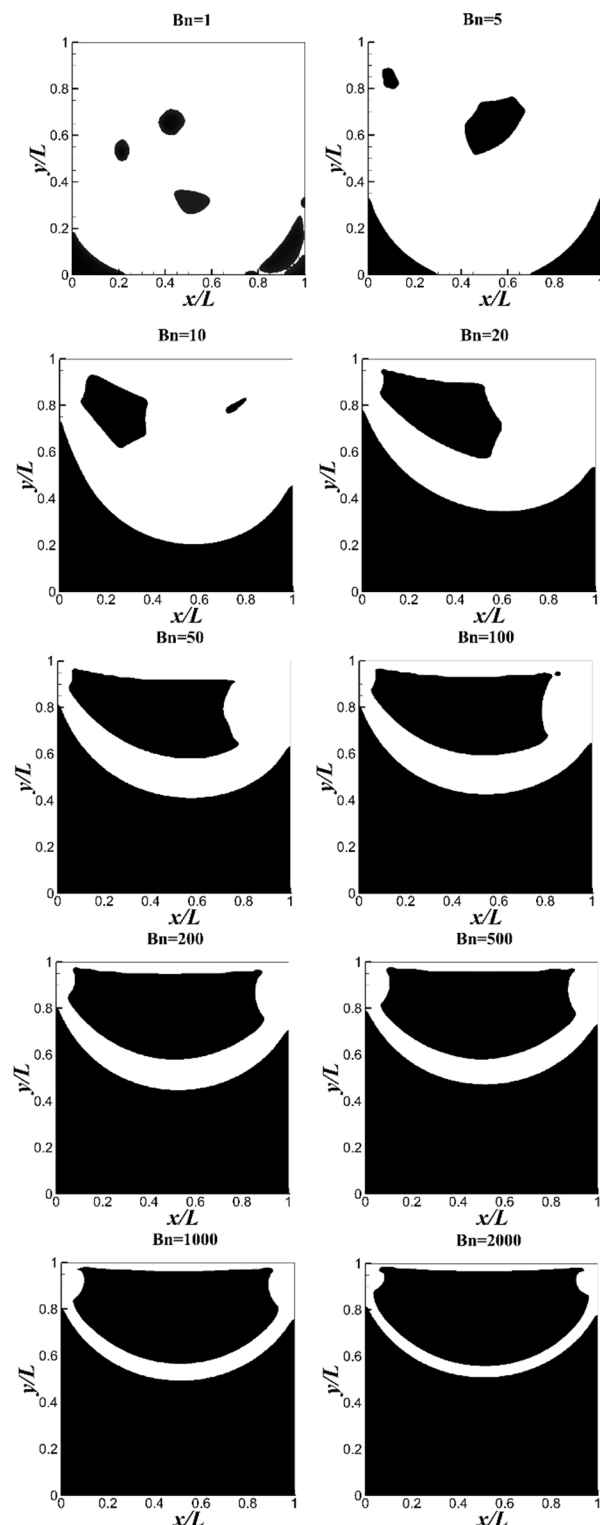
در ویسکوپلاستیک بینگهام عدد بینگهام همواره پارامتری مهم در بررسی نتایج و رفتار سیال با تغییر آن است و زمانی که با دما نیز متغیر باشد



**Fig. 10** نواحی تسلیم نشده (مشکی) با تغییر عدد رینولدز در  $Bn=10$  و  $Pr=100$

شکل 10 نواحی تسلیم نشده (مشکی) با تغییر عدد رینولدز در  $Re=1000$  و  $Bn=10$  و  $Pr=100$

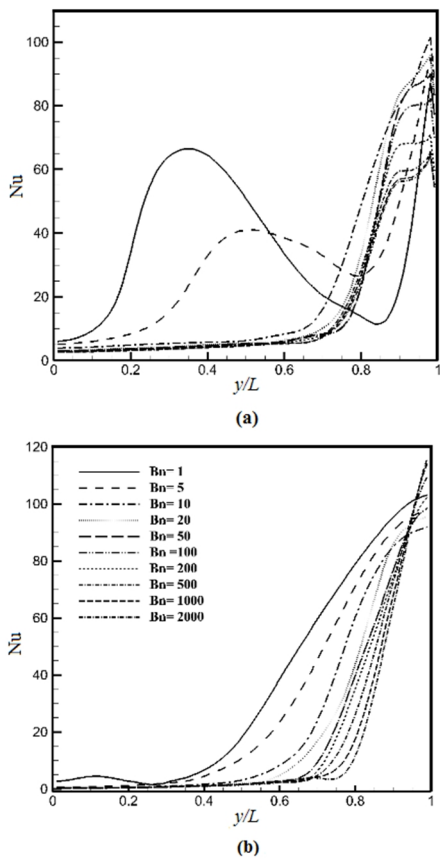
این موضوع در عدد رینولدز 1000 و عدد برانتل 100 در بینگهام‌های متفاوت بررسی شده و تغییرات آن‌ها قابل مشاهده است. در "شکل 9" مشاهده می‌شود که با افزایش عدد بینگهام نواحی تسلیم نشده در مجاورت دیوارها و در میان حفره افزایش می‌یابند و در نهایت ناحیه‌ی بزرگی از آن را در بر می‌گیرند. توجه هم‌زمان به "شکل 8" و "شکل 9" باعث درک بهتر می‌شود.



**Fig. 9** نواحی تسلیم نشده (مشکی) با تغییر عدد بینگهام در  $Re=1000$  و  $Pr=100$

شکل 9 نواحی تسلیم نشده (مشکی) با تغییر عدد بینگهام در  $Re=1000$  و  $Bn=1000$  و  $Pr=100$

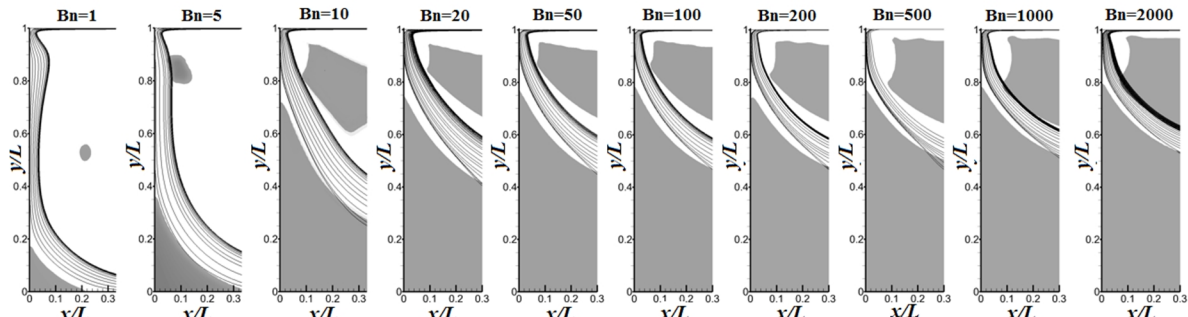
می توان ماده را صلب در نظر گرفت ناسلت مقادیر بسیار پایینی دارد (1-).



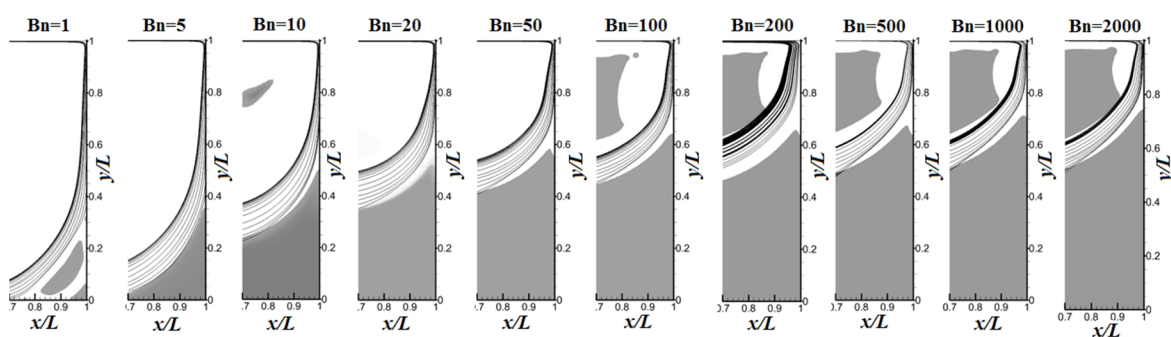
شکل 11 تغییرات عدد ناسلت در  $Re = 1000$  و  $Pr = 100$  روی دیوارهای سمت (a) چپ و (b) راست

موضوعی جذاب خواهد بود. "شکل 11" تغییرات عدد ناسلت محلی روی دیوارهای چپ و راست را در  $Re = 1000$  و  $Pr = 100$  نشان می‌دهد و در آن تغییرات عدد ناسلت برای بینگهام 1 تا 2000 بررسی شده است. با توجه به "شکل 11 (a)"، مشاهده می‌شود که با افزایش عدد بینگهام رفتار جریان به هم نزدیک می‌شود و عدد ناسلت در ناحیه‌هایی مقدار بیشینه و کمینه دارد. در عدد بینگهام پایین ( $Bn \leq 5$ ) تغییرات شدیدتر است و نمودار عدد ناسلت ابتدا صعودی است و به یک نقطه‌ای بیشینه می‌رسد سپس کاهش می‌یابد و کمینه می‌شود و دوباره افزایش می‌یابد و در انتهای نزدیک به درپوش متحرک یک افت نسبی شدید دارد. این فراز و فروز با افزایش عدد بینگهام هموارتر می‌شود. با توجه به "شکل 11 (b)" نیز با حرکت از پایین به بالا روی دیوار سمت راست و با وارد شدن به ناحیه‌ی در حال جریان، عدد ناسلت افزایش می‌یابد که در نزدیکی درپوش بهدلیل برخورد جریان با دیوار عدد ناسلت بیشترین مقدار را دارد. با دقت به "شکل 11 (a) و (b)" در تمام اعداد بینگهام الگوی تغییرات شبیه نمودار حفظ می‌شود. با توجه به تعریف عدد ناسلت، نقاط بیشینه مربوط به آن ناحیه‌ای هستند که انتقال حرارت جایجایی نسبت به هدایتی قوی‌تر است، یعنی سرعت سیال در آن ناحیه بیشتر است و در قسمت‌هایی که جریان ضعیف است عدد ناسلت کاهش می‌یابد و کمینه می‌شود. در مجموع با افزایش عدد بینگهام به دلیل ضعیف شدن جریان سیال و کاهش مقادیر سرعت ("شکل 6"), نمودار عدد ناسلت مقادیر کمتری را نشان می‌دهد.

"شکل 12" و "شکل 13" نواحی تسليم نشده و خطوط جریان نزدیک آنها در مجاورت دیوارهای به ترتیب چپ و راست را نشان می‌دهد. با توجه به "شکل‌های 12 و 13" و با دقت به نواحی بیشینه و کمینه "شکل 11" در مجموعیم که در آن قسمتی که جریان با دیوارها برخورد می‌کند ناسلت مقدار بیشینه و در نواحی جدایی جریان مقدار کمینه دارد. همچنین در مناطقی که ماده تسليم نشده باقی مانده است، بهدلیل جریان بسیار ناچیزی که تقریباً



شکل 12 خطوط جریان و نواحی تسليم نشده (حاکستری) در مجاورت دیوار سمت چپ در  $Re = 1000$  و  $Pr = 100$



شکل 13 خطوط جریان و نواحی تسليم نشده (حاکستری) در مجاورت دیوار سمت راست در  $Re = 1000$  و  $Pr = 100$

جدول 1 عدد ناسلت میانگین روی دیوارهای چپ و راست با تغییر عدد بینگهام

Table 1 Average Nusselt number on the left and right walls with change in Bingham number

Bn											
2000	1000	500	200	100	50	20	10	5	1	0	
15.7445	16.0217	16.3642	17.0112	18.0248	18.8328	19.7465	20.9051	22.3401	31.1122	42.3124	$\bar{Nu}_{lw}$
15.7448	16.0221	16.3649	17.0116	18.0249	18.8330	19.7467	20.9052	22.3403	31.1123	42.3129	$\bar{Nu}_{rw}$

سیال ویسکوپلاستیک که از مدل بینگهام پیروی می‌کند، جریان و انتقال حرارت آن ماده درون حفره با دریوش متحرک مورد بررسی قرار گرفته است. در مقایسه با خواص مستقل از دما، این فرضیه در نتایج تفاوت‌های ایجاد

در جدول 1 ناسلت متوسط در اعداد بینگهام مختلف آورده شده است. با توجه به جدول 1، با افزایش عدد بینگهام و کاهش نواحی در جریان، عدد ناسلت متوسط کاهش یافته و برای  $Bn=0$  که جهت مقایسه در اینجا آورده شده و بیانگر سیال نیوتونی است، بیشترین مقدار را دارد.

#### 4-2-2-اثر عدد پرانتل

عدد پرانتل کمیتی بدون بعد و بیانگر نسبت نفوذ اندازه حرکت به نفوذ گرمایی است و در واقع می‌توان این عدد را نسبت ضخامت لایه مرزی سرعت به ضخامت لایه مرزی گرمایی دانست که برای هر ماده متفاوت است. "شکل 14" تغییرات عدد ناسلت محلی با عدد پرانتل روی دیوارهای چپ و راست حفره را بررسی می‌کند. بنابر "شکل 14" مشاهده می‌شود که با حرکت به سمت بالای حفره روی دیوار سمت چپ، در آن نواحی که جریان سیال وجود دارد عدد ناسلت ابتدا افزایش می‌یابد و سپس با نزدیک شدن به دریوش به دلیل جدا شدن جریان از دیوار عدد ناسلت کاهش می‌یابد و روی دیوار سمت راست نیز همین اتفاق مشاهده می‌شود با این تفاوت که در نزدیکی دریوش به دلیل برخورد جریان با دیوار شاهد افزایش نسبی عدد ناسلت هستیم. به علاوه در تمام نمودارهای "شکل 14" با افزایش عدد پرانتل، عدد ناسلت کاهش می‌یابد.

در جدول 2 مقادیر عدد ناسلت متوسط روی دیوارهای سرد و گرم ارائه شده است. با توجه به "شکل 14" و داده‌های جدول 2 ملاحظه می‌شود که با افزایش عدد پرانتل، مقادیر ناسلت محلی و میانگین کاهش یافته است، در حالی که برای سیال نیوتونی ( $Bn=0$ ) عکس این رفتار مشاهده می‌شود [39,30]. این پدیده، با توجه به تعاریف اعداد بدون بعد بینگهام و پرانتل که در رابطه (7) آمداند قابل توضیح است. با توجه به تعریف دو عدد بدون بعد بینگهام و پرانتل ملاحظه می‌شود که این دو عدد به واسطه‌ی پارامتر ویسکوزیته به هم مرتبط می‌شوند. با افزایش عدد پرانتل و یا ویسکوزیته‌ی پلاستیک سیال در یک عدد بینگهام ثابت، مقدار تنش تسلیم افزایش می‌یابد که این اتفاق منجر به افزایش مساحت ناحیه‌ی تسلیم نشده در مجاورت دیوارها می‌شود. گسترش ناحیه‌ی تسلیم نشده منجر به ضعیف شدن جریان می‌شود که نتیجه نهایی آن، کاهش انتقال حرارت جابجایی نسبت به انتقال حرارت هدایتی و در نتیجه کاهش عدد ناسلت است.

#### 5-نتیجه‌گیری

در این کار با در نظر گرفتن تنش تسلیم و ویسکوزیته‌ی متغیر با دما برای

جدول 2 عدد ناسلت میانگین روی دیوارهای چپ و راست با تغییر عدد پرانتل در  $Re=1000$  و  $Bn=10$ Table 2 Average Nusselt number on the left and right walls with change in Prandtl number at  $Re=1000$  and  $Bn=10$ 

Pr								
100	50	20	10	1	0.7	0.1	0.01	
19.9567	35.7406	71.1524	115.2911	467.3285	572.7295	1793.5321	10305.5468	$\bar{Nu}_{lw}$
19.9562	35.7403	71.1520	115.2913	467.3287	572.7299	1793.5324	10305.5471	$\bar{Nu}_{rw}$

عدد ناسلت میانگین	$\bar{N}$
فشار ( $\text{kgm}^{-1}\text{s}^2$ )	$p$
عدد پرانتل	$P_r$
ثابت جهانی گازها ( $\text{Jmol}^{-1}\text{K}^{-1}$ )	$R$
عدد رینولدز	$Re$
ترانهاده	$T$
(دما) ( $\text{K}$ )	$T$
دما گرم ( $\text{K}$ )	$T_H$
دما سرد ( $\text{K}$ )	$T_C$
دما دیوار ( $\text{K}$ )	$T_{wall}$
دما مرتع ( $\text{K}$ )	$T_{ref}$
سرعت دریوش ( $\text{ms}^{-1}$ )	$U$
بردار سرعت ( $\text{ms}^{-1}$ )	$u$
مؤلفه افقی سرعت ( $\text{ms}^{-1}$ )	$u$
مؤلفه عمودی سرعت ( $\text{ms}^{-1}$ )	$v$
مؤلفه افقی مکان ( $\text{m}$ )	$x$
مؤلفه عمودی مکان ( $\text{m}$ )	$y$
علایم یونانی	
ویسکوزیته پلاستیک ( $\text{kgm}^{-1}\text{s}^{-1}$ )	$\mu$
ویسکوزیته ظاهری ( $\text{kgm}^{-1}\text{s}^{-1}$ )	$\mu_{app}$
ویسکوزیته تسلیم ( $\text{kgm}^{-1}\text{s}^{-1}$ )	$\mu_{yield}$
چگالی ( $\text{kgm}^{-3}$ )	$\rho$
تنش برشی (Pas)	$\tau$
تنش تسلیم (Pas)	$\tau_y$
پارامتر منظم‌سازی	$\epsilon$
دما بدون بعد	$\theta$
تانسور نرخ کرنش ( $\text{s}^{-1}$ )	$\dot{\gamma}$
نرخ کرنش ( $\text{s}^{-1}$ )	$\dot{\gamma}$
زیرنویس‌ها	
سرد	$C$
گرم	$H$
دیوار سمت چپ	$lw$
دیوار سمت راست	$rw$
حالت سیال در تماس با دیوار	$wf$

## 7- مراجع

- [1] R. P. Chhabra, J. F. Richardson, *Non-Newtonian flow and applied rheology: engineering applications*, Second Edition, pp. 316-342, Oxford: Butterworth-Heinemann, 2008.
- [2] H. A. Barnes, The yield stress—a review or ‘παντα πει’—everything flows?, *Journal of Non-Newtonian Fluid Mechanics*, Vol. 81, No. 1, pp. 133-178, 1999.
- [3] T. C. Papanastasiou, Flows of materials with yield, *Journal of Rheology* (1978-present), Vol. 31, No. 5, pp. 385-404, 1987.
- [4] I. Frigaard, C. Nouar, On the usage of viscosity regularisation methods for visco-plastic fluid flow computation, *Journal of Non-Newtonian Fluid Mechanics*, Vol. 127, No. 1, pp. 1-26, 2005.
- [5] E. O'Donovan, R. Tanner, Numerical study of the Bingham squeeze film problem, *Journal of Non-Newtonian Fluid Mechanics*, Vol. 15, No. 1, pp. 75-83, 1984.
- [6] E. J. Dean, R. Glowinski, G. Guidoboni, On the numerical simulation of Bingham visco-plastic flow: old and new results,

می‌کند که با توجه به مرور بر کارهای انجام شده قبلی و نتیجه‌گیری بعضی کارهای آزمایشگاهی پیشین، با این فرض پدیده‌ها به آنچه در عمل اتفاق می‌افتد نزدیکتر می‌شوند. در اینجا مسئله در گستره‌ی بزرگی از مشخصه‌های ماده، جریان و انتقال حرارت مورد بررسی قرار گرفته است. افزایش و یا کاهش عدد بینگهام باعث تغییر در سیالیت ماده می‌شود و با بررسی توزیع مؤلفه‌های سرعت افقی و عمودی، مشاهده می‌گردد که با افزایش عدد بینگهام مقدار سرعت‌ها کاهش یافته‌اند. در این کار با توجه به فرض وابستگی خواص به دما پارامتر دیگری به نام انرژی فعال‌سازی معروفی می‌شود که تغییر آن می‌تواند در نتایج مؤثر باشد. با تغییر انرژی فعال‌سازی از زیاد به کم سرعت‌ها کاهش یافته و این تغییرات برای سرعت اعمودی شدیدتر است. در مسئله‌ی حفره مشابه با کار حاضر با حرکت افقی دریوش، یک گردابه و بیشتر برای سیال نیوتونی، درون حفره تشکیل می‌شود. بررسی‌ها نشان می‌دهد که موقعیت مرکز آن با تغییر عدد بینگهام و عدد رینولدز عوض می‌شود و با افزایش عدد بینگهام وابستگی به عدد رینولدز کاهش می‌یابد. در اعداد بینگهام بالا مشاهده می‌شود که موقعیت مرکز گردابه تقریباً ثابت و مستقل از عدد رینولدز رفتار می‌کند. با افزایش عدد بینگهام به دلیل افزایش آستانه‌ی تسلیم و کاهش سیالیت، نواحی تسلیم نشده افزایش یافته و دو قسمت تسلیم نشده در حفره پیدا می‌شود که بین این دو ناحیه جریان با سرعت بالاتر در حرکت است. البته جریان در نواحی تسلیم نشده نیز وجود دارد که سرعت بسیار ناچیزی دارد. با توجه به تغییرات عدد ناسلت در اعداد بینگهام مختلف، یک مشاهده‌ی قابل بحث آن است که عدد ناسلت روی دیوار با برخورد و جدایی جریان به ترتیب افزایش و کاهش می‌یابد و همچنین در نواحی تسلیم نشده به دلیل سرعت جریان بسیار ناچیز که می‌توان ظاهرآ جامد در نظر گرفت، و انتقال حرارت جابه‌جایی ضعیف، ناسلت مقادیر بسیار کمی دارد. پارامتر دیگری که مورد بحث قرار گرفته عدد پرانتل است. با افزایش عدد پرانتل، عدد ناسلت به مقدار قابل توجهی کاهش یافته است. همچنین در بحث انتقال حرارت، مقادیر ناسلت متوسط استخراج و مقایسه شده‌اند که با افزایش عدد بینگهام و پرانتل کاهش می‌یابند. از این پدیده می‌توان نتیجه گرفت که در ویسکوپلاستیک بینگهام افزایش عدد پرانتل در اثری که عدد بینگهام بر انتقال حرارت دارد ایفاده نقش می‌کند و افزایش آن باعث کاهش عدد ناسلت می‌شود. در تحقیق حاضر با تأکید بر لزوم در نظر گرفتن خواص متغیر با دما نتایج کاربردی و کلاسیک ارائه شده‌اند که با آشکار شدن این جنبه از مسئله‌ی حفره برای ویسکوپلاستیک بینگهام، در تحقیقات آینده مؤثر و کارا خواهد بود. با در نظر گرفتن این فرضیه مسائل متفاوتی پیرامون جریان و انتقال حرارت این نوع سیال در هندسه‌های مختلف مانند جریان درون انواع کانال و سطوح آزاد قابل بررسی هستند.

## 6- فهرست عالایم

عدد بینگهام	$B_n$
ظرفیت گرمایی ویژه در فشار ثابت (JK <sup>-1</sup> )	$C_p$
انرژی فعال سازی (kJ mol <sup>-1</sup> )	$E$
ضریب انتقال حرارت جابه‌جایی	$h$
رسانای حرارتی (Wm <sup>-1</sup> K <sup>-1</sup> )	$k$
(بعض) (m)	$L$
پارامتر دلخواه	$m$
مقدار اولیه پارامتر دلخواه	$m_0$
عدد ناسلت محلی	$Nu$

- [24]A. Syrakos, G. C. Georgiou, A. N. Alexandrou, Solution of the square lid-driven cavity flow of a Bingham plastic using the finite volume method, *Journal of Non-Newtonian Fluid Mechanics*, Vol. 195, pp. 19-31, 2013.
- [25]A. Syrakos, G. C. Georgiou, A. N. Alexandrou, Performance of the finite volume method in solving regularised Bingham flows: Inertia effects in the lid-driven cavity flow, *Journal of Non-Newtonian Fluid Mechanics*, Vol. 208, pp. 88-107, 2014.
- [26]N. Labsi, Y. K. Benkahla, A. Boutra, Study of convective heat transfer in a square cavity filled with a viscoplastic fluid by taking into account viscous dissipation, *Heat Transfer Research*, Vol. 44, No. 7, 2013.
- [27]M. Soares, M. F. Naccache, P. R. S. Mendes, Heat transfer to viscoplastic materials flowing laminarly in the entrance region of tubes, *International Journal of Heat And Fluid Flow*, Vol. 20, No. 1, pp. 60-67, 1999.
- [28]C. Nouar, M. Lebouché, R. Devienne, C. Riou, Numerical analysis of the thermal convection for Herschel-Bulkley fluids, *International Journal of Heat And Fluid Flow*, Vol. 16, No. 3, pp. 223-232, 1995.
- [29]J. Peixinho, C. Desaubry, M. Lebouche, Heat transfer of a non-Newtonian fluid (Carbopol aqueous solution) in transitional pipe flow, *International Journal of Heat And Mass Transfer*, Vol. 51, No. 1, pp. 198-209, 2008.
- [30]O. Turan, N. Chakraborty, R. J. Poole, Laminar natural convection of Bingham fluids in a square enclosure with differentially heated side walls, *Journal of Non-Newtonian Fluid Mechanics*, Vol. 165, No. 15, pp. 901-913, 2010.
- [31]O. Turan, A. Sachdeva, R. J. Poole, N. Chakraborty, Laminar natural convection of Bingham fluids in a square enclosure with vertical walls subjected to constant heat flux, *Numerical Heat Transfer, Part A: Applications*, Vol. 60, No. 5, pp. 381-409, 2011.
- [32]G. Vinay, A. Wachs, J.-F. Agassant, Numerical simulation of non-isothermal viscoplastic waxy crude oil flows, *Journal of Non-Newtonian Fluid Mechanics*, Vol. 128, No. 2, pp. 144-162, 2005.
- [33]N. Balmforth, R. Craster, Dynamics of cooling domes of viscoplastic fluid, *Journal of Fluid Mechanics*, Vol. 422, pp. 225-248, 2000.
- [34]V. R. Gopala, J.-A. L. à Nijeholt, P. Bakker, B. Havercate, Development and validation of a CFD model predicting the backfill process of a nuclear waste gallery, *Nuclear Engineering and Design*, Vol. 241, No. 7, pp. 2508-2518, 2011.
- [35]S. Tavangar, S. H. Hashemabadi, A. Saberimoghadam, CFD simulation for secondary breakup of coal-water slurry drops using OpenFOAM, *Fuel Processing Technology*, Vol. 132, pp. 153-163, 2015.
- [36]C. Rauh, J. Singh, M. Nagel, A. Delgado, Objective analysis and prediction of texture perception of yoghurt by hybrid numerical methods, *International Dairy Journal*, Vol. 26, No. 1, pp. 2-14, 2012.
- [37]A. Rudert, R. Schwarze, Experimental and numerical investigation of a viscoplastic Carbopol gel injected into a prototype 3D mold cavity, *Journal of Non-Newtonian Fluid Mechanics*, Vol. 161, No. 1, pp. 60-68, 2009.
- [38]A. W. Date, *Introduction to computational fluid dynamics*. pp. 107-137, New York: Cambridge University Press, 2005.
- [39]G. de Vahl Davis, Natural convection of air in a square cavity: a bench mark numerical solution, *International Journal For Numerical Methods in Fluids*, Vol. 3, No. 3, pp. 249-264, 1983.
- [40]P. Neofytou, A 3rd order upwind finite volume method for generalised Newtonian fluid flows, *Advances in Engineering Software*, Vol. 36, No. 10, pp. 664-680, 2005.
- [41]P. Neofytou, D. Drikakis, Effects of blood models on flows through a stenosis, *International Journal for Numerical Methods In Fluids*, Vol. 43, No. 6-7, pp. 597-635, 2003.
- [42]P. Neofytou, D. Drikakis, Non-Newtonian flow instability in a channel with a sudden expansion, *Journal of Non-Newtonian Fluid Mechanics*, Vol. 111, No. 2, pp. 127-150, 2003.
- [43]P. R. de Souza Mendes, M. F. Naccache, P. R. Varges, F. H. Marchesini, Flow of viscoplastic liquids through axisymmetric expansions-contractions, *Journal of Non-Newtonian Fluid Mechanics*, Vol. 142, No. 1, pp. 207-217, 2007.
- [44]M. F. Naccache, R. S. Barbosa, Creeping flow of viscoplastic materials through a planar expansion followed by a contraction, *Mechanics Research Communications*, Vol. 34, No. 5, pp. 423-431, 2007.
- [45]F. Sanchez, Application of a first-order operator splitting method to Bingham fluid flow simulation, *Computers & Mathematics with Applications*, Vol. 36, No. 3, pp. 71-86, 1998.
- [46]E. Mitsoulis, T. Zisis, Flow of Bingham plastics in a lid-driven square cavity, *Journal of Non-Newtonian Fluid Mechanics*, Vol. 101, No. 1, pp. 173-180, 2001.
- [47]D. Vola, L. Boscardin, J. Latché, Laminar unsteady flows of Bingham fluids: a numerical strategy and some benchmark results, *Journal of Computational Physics*, Vol. 187, No. 2, pp. 441-456, 2003.
- [48]R. N. Elias, M. A. Martins, A. L. Coutinho, Parallel edge-based solution of viscoplastic flows with the SUPG/PSPG formulation, *Computational Mechanics*, Vol. 38, No. 4-5, pp. 365-381, 2006.
- [49]M. A. Olshanskii, Analysis of semi-staggered finite-difference method with application to Bingham flows, *Computer Methods in Applied Mechanics and Engineering*, Vol. 198, No. 9, pp. 975-985, 2009.
- [50]C. Nouar, M. Lebouché, Thermal convection for a thermodependent Herschel-Bulkley fluid in an annular duct, *Heat and Mass Transfer*, Vol. 31, No. 4, pp. 257-267, 1996.
- [51]M. Nehdi, S. Al Martini, Estimating time and temperature dependent yield stress of cement paste using oscillatory rheology and genetic algorithms, *Cement and Concrete Research*, Vol. 39, No. 11, pp. 1007-1016, 2009.
- [52]L. E. B. Sampaio, R. Sargentini, L. Valim, R. L. Thompson, Non-Isothermal Re-start flow of a waxy crude oil, *Proceeding of COBEM 2013*, Ribeirão Preto, SP, Brazil, November 3-7, 2013.
- [53]J. Zhang, An augmented Lagrangian approach to Bingham fluid flows in a lid-driven square cavity with piecewise linear equal-order finite elements, *Computer Methods in Applied Mechanics and Engineering*, Vol. 199, No. 45, pp. 3051-3057, 2010.
- [54]T. J. Hughes, W. K. Liu, A. Brooks, Finite element analysis of incompressible viscous flows by the penalty function formulation, *Journal of Computational Physics*, Vol. 30, No. 1, pp. 1-60, 1979.